

KİŞİSEL BİLGİSAYAR İLE ÇERÇEVE OYNU

Cengiz DÜNDAR * , Erhan KIRAL **

1. GİRİŞ

Yönetmelikler giderek yapı analizinde binayı parçalara ayırmadan çerçeve şeklinde çözümleme eğilimi göstermektedir. Örneğin TS 500 Mart 1982, "Betonarme yapıların hesap ve yapım kuraları", baskısında eşdeğer çerçeve yöntemi genel bir yöntem olarak önerilmektedir⁽¹⁾. Ayrıca yapının düğüm noktalarının hareket ettiği bir yükleme durumunda (rüzgâr ve deprem gibi) çerçeveleri parçalara ayırmak mümkün olamamaktadır. Ne var ki çerçeveyi tüm olarak ele alan çözüm yöntemleri elle yapıldığında yorucu ve zaman alıcıdır. Bu nedenle uygulamada dizayn edilerek kat, kolonlarının alt ve üst katlara birleştirikleri yerden kesilerek çıkartılır ve kolon uçlarında ankastre olduğu kabul edilir⁽²⁾. Böylece tüm çerçeve alt çerçevelere indirginmiş olmaktadır. Diğer taraftan rüzgâr ve deprem yükleri etkileri altında bir yapının düğüm noktaları hareketli olacağından alt çerçevelere ayırma yöntemi gerçekçi olmayacağından alt çerçevelere ayırma yöntemi gerçekçi ol\Migrations

çalanarak alt çerçeveler ele alınıp çözüm yapılmaktadır⁽³⁾. Şekil 1 de verilen çerçeveyi göz önüne alalım. Çerçeve şe-kil 2 de görüldüğü gibi alt çerçevelere ayrılarak yapılacak yaklaşık yöntemle karşılaşılacağından düğüm noktalarının yer değiştirme yapmadığı varsayılmaktadır. Deplasman yöntemi^(4,5) ile Basic dilinde hazırladığımız genel bir program ile tüm ve alt çerçeveler verilen düşey yükler altında çözülmerek kolon ve kirişlerin üç momentleri hesaplanmış olup Tablo 1 - 5 de verilmektedir.* Çözüm bilgisayar programının verdiği kolaylıkla üç yükleme durumu için bir defada elde edilebilmiştir. Tabloların incelenmesinden aşağıdaki gözlemler çıkarılabilir: (i) Açıklık momentleri beklenildiği gibi o açılığın toplam yük, komşu açılığın ölü yük ile yükleniği zaman meydana geldiği (ii) Tüm açılığın toplam yükle yüklenliğinde kiriş üç momentlerinin en büyük değeri aldığı (iii) moment sıfır noktalarının kolonlarda yaklaşık olarak orta noktalarda olusmasına rağmen bu durumun zemin kat kolonlarında bozulduğu (iv) Kolon üç momentleri alt çerçevelere bölerek elde edilen sonuçlarla tüm çerçeve için elde edilen sonuçlar karşılaştırıldığında zemin kattan üst katlara doğru gidildikçe farkın önemli ölçüde arttığı ancak kiriş üç momentlerinin birbirine yakın olduğu görülmektedir.

Uygulamada alt çerçevelere ayıranın yakında tek kademeli Cross yöntemi kullanılarak çözüme ikinci bir yaklaşım getirildiği unutulmamalıdır (Biro yöntemi). Ayrıca düğüm noktalarının sabit olduğu varsayımda gerçege uygun olmamaktadır.

3. TÜM ÇERÇEVE (DÜĞÜM NOKTALARI SABİT)

2. TÜM VE ALT ÇERÇEVE (DÜĞÜM NOKTALARI SABİT)

Kişisel bilgisayarların mevcut olmadığı yakın zaman öncesine kadar çerçeve çözümleri her zaman yorucu olmuştur. Bu nedenle uygulamada mümkün mertebe az sayıda çerçeve hesabına yönelikilmekte veya çerçeveler par-

Bu bölümde şekil 1 de verilen çerçeve üç değişik yükleme durumu için düğüm noktaları hareketine değişik serbestlik vererek bilgisayar yardım ile tekrar çözülmüştür. Yer darlığı nedeni sadece yükleme no 1 için sonuçlar Tablo 6 da verilmiştir. Kolon ve kiriş üç momentleri düşey

* Hesaplar Sinclair ZX Spectrum 48 K mikro bilgisayarı ile yapılmıştır.

** Prof. Dr. Çukurova Üniversitesi Müh.-Mim. Fakültesi.

yükleme halinde düğüm noktaları hareketli ve hareketsiz sistemler için birbirine yakın çıkmaktadır. Çerçevenin yatay hareketini yok kabul etmek çözümde etken olmaktadır. Düğüm noktalarının düşey hareketi yani kolonların boy değişimlerinin ihmali edilebileceği gözlenmektedir.

4. YATAY YÜKLEME GÖRE HESAP

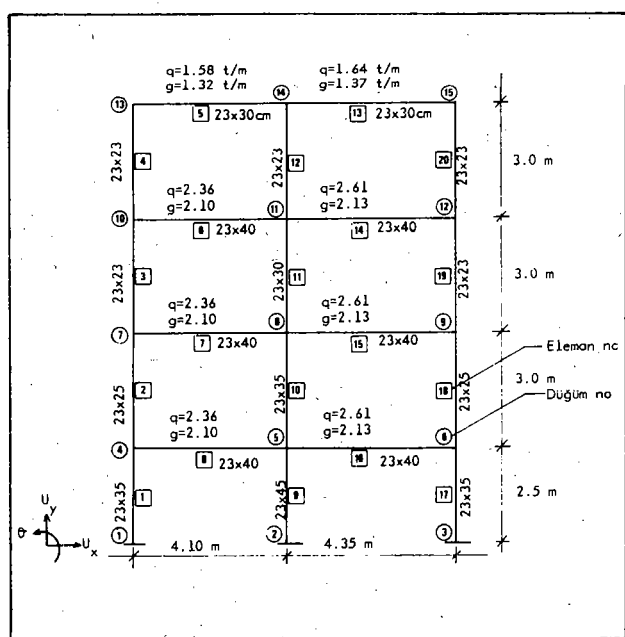
Bu bölümde şekil 3 de verilen çerçeve rüzgâr yükü altında yaklaşık yöntemler kullanılarak çözülmüş ve sonuçlar mikro bilgisayar yardımı ile elde edilen kesin çözüm ile karşılaştırılmıştır. Tablo 7 nin incelenmesi sonucu aşağıdaki gözlemleri sıralayabiliriz: (i) yatay yükler altında ele alınan yaklaşık çözümler arasında Muto yöntemi kesin çözümle en yakın sonuçları vermektedir. (ii) Bununla beraber bazı elemanlarda sonuçlar oldukça fark göstermektedir.

Yaklaşık bir şekilde yapılan rüzgâr ya da deprem hesaplarının verdiği sonuçlar yine yaklaşık bulunan düşey yükler halindeki sonuçlar ile toplanması hatalarında toplanmasına neden olmaktadır. Günüümüz olanakları ile işlemeleri hızlı ve kesin yapan bilgisayar (kişisel bilgisayar bile) kullanımı emniyet, ekonomi ve zaman açısından gerekmektedir. Bilindiği üzere düşey yükler altında boyut tahliki yapıldığında verilen kesitlerden bir kısmı yeterli olmayabilir. Benzer şekilde düşey yükler altında verilen boyutlar uygun olsa bile rüzgâr ve deprem hesabı sonunda bir kısım boyutlar yine yetersiz olabilir. Bu durumda sistem ya yeni baştan yeni boyutlar ile çözülecek veya ilave donatı artırımı yapılarak emniyet sağlanacaktır⁽³⁾. Donatı artırımı iki sakınca getirebilir; birincisi çok donatılı (denge üstü) bir kesit oluştuğunda çökme anı ve habersiz olacaktır. İkincisi ülkemizde pahalı olan donatı beton yerine kullanıldığında ekonomik bir çözümden uzaklaşacaktır.

Bu makaleden görüldüğü gibi önünde kişisel bilgisayar olan bir mühendis masası başında hayali deneyler yapma olanağı bulunmaktadır. Böylece bilgilendiği bir konuda değişik seçenekler deneyerek o konuda bilgisini genişletecek yaratıcı ve yapıcı olacaktır.

KAYNAKLAR

1. Ersoy, U., ve Atımtay, E., "Betonarme - Temel İlkeler ve Hesap Yöntemleri", Güven Kitabevi, Ankara, 1975.
2. Hughes, B.P., "Limit State Theory for Reinforced Concrete Design", Pitman Publishing Limited, second edition, 1976.
3. Uluğ, T.N., ve Odabaşı, Y., "Betonarme İnşaat Hesapları", Uluğ Kitabevi, İstanbul, 1972.
4. Laursen, H.I., "Structural Analysis", McGraw-Hill Book Company, second edition, 1978
5. Çakiroğlu, A., Özden, E. ve Özmen, G., "Yapı Sistemlerinin Hesabı İçin Matris Metodları ve Elektronik Hesap Makinası Programları" Cilt 1, İTÜ Kütüphanesi, Sayı 313, 1970.



Tablo 1. Tüm çerçeve momentleri, ($U_x = 0$, $U_y = 0$, $\theta \neq 0$)

Eleman No	YÜKLEME NO 1		YÜKLEME NO 2		YÜKLEME NO 3	
	M_{ij}	M_{ji}	M_{ij}	M_{ji}	M_{ij}	M_{ji}
1	-0.5720	-1.1441	-0.4996	-0.9991	-0.5892	-1.1783
2	-0.5812	-0.6392	-0.5046	-0.5523	-0.6030	-0.6672
3	-0.5387	-0.5335	-0.4649	-0.4617	-0.5674	-0.5643
4	-0.6569	-0.7854	-0.5381	-0.6176	-0.6967	-0.8322
5	0.7854	-3.0886	0.6176	-2.7887	-0.8322	-2.8776
6	1.1904	-4.6747	0.9998	-4.3555	1.2610	-4.3546
7	1.1779	-4.6151	1.0172	-4.2692	1.2345	-4.3572
8	1.7253	-4.2590	1.5038	-3.9034	1.7814	-4.0803
9	0.1713	-0.3425	-0.2517	-0.5034	-0.0066	-0.0192
10	-0.2372	-0.2726	-0.3492	-0.4019	-0.0092	-0.0107
11	-0.2132	-0.2311	-0.3093	-0.3305	-0.0106	-0.0135
12	-0.1208	-0.1295	-0.2037	-0.2492	-0.0061	-0.0197
13	3.2181	-1.0486	3.0378	-1.0865	2.8579	-0.8326
14	5.0266	-1.6720	4.8896	-1.7094	4.3619	-1.3183
15	5.1009	-1.6475	4.9804	-1.6740	4.3786	-1.3050
16	4.8387	-2.8274	4.7560	-2.3540	4.1027	-1.8732
17	0.7671	1.5343	0.7752	1.5504	0.6152	1.2305
18	0.7931	0.8846	0.8036	0.8983	0.6328	0.7028
19	0.7629	0.7646	0.7758	0.7770	0.6022	0.6015
20	0.9074	1.0486	0.9324	1.0865	0.7168	0.8326

Tablo 2. Kat 1 alt çerçeve momentleri ($U_x = 0$, $U_y = 0$, $\theta \neq 0$)

Eleman No	YÜKLEME NO 1		YÜKLEME NO 2		YÜKLEME NO 3	
	M_{ij}	M_{ji}	M_{ij}	M_{ji}	M_{ij}	M_{ji}
1	-0.5446	-1.0892	-0.4724	-0.9448	-0.5662	-1.1324
2	-0.3985	-0.1993	-0.3456	-0.1728	-0.4143	-0.2071
8	1.4877	-4.4178	1.2904	-4.0689	1.5466	-4.1995
9	-0.1792	-0.3584	-0.2634	-0.5268	-0.0071	-0.0142
10	-0.1689	-0.0845	-0.2483	-0.1241	-0.0067	-0.0033
16	4.9451	-2.039	4.8440	-2.067	4.2204	-1.6244
17	0.7464	1.4928	0.7567	1.5133	0.5947	1.1893
18	0.5462	0.2731	0.5537	0.2768	0.4351	0.2176

Tablo 3. Kat 2 alt çerçeve momentleri ($U_x = 0$, $U_y = 0$, $\theta \neq 0$)

Eleman No	YÜKLEME NO 1		YÜKLEME NO 2		YÜKLEME NO 3	
	M_{ij}	M_{ji}	M_{ij}	M_{ji}	M_{ij}	M_{ji}
2	-0.2584	-0.5169	-0.2210	-0.4419	-0.2440	-0.5480
3	-0.4032	-0.2016	-0.3447	-0.1724	-0.4275	-0.2137
7	0.9201	-4.7999	0.7866	-4.4636	0.9755	-4.4904
10	-0.1264	-0.2529	-0.1856	-0.3709	-0.0057	-0.0113
11	-0.1604	-0.0802	-0.2352	-0.1117	-0.0072	-0.0036
15	5.1227	-1.3196	5.0698	-1.3462	4.5089	-1.0373
18	0.3707	0.7414	0.8782	0.7563	0.2914	0.5828
19	0.5783	0.2891	0.5899	0.2950	0.4545	0.2278

Tablo 4. Kat 3 alt çerçeve momentleri ($U_x = 0$, $U_y = 0$, $\theta \neq 0$)

Eleman No	YÜKLEME NO 1		YÜKLEME NO 2		YÜKLEME NO 3	
	M_{ij}	M_{ji}	M_{ij}	M_{ji}	M_{ij}	M_{ji}
3	-0.2062	-0.4124	-0.1744	-0.3489	-0.2217	-0.4434
4	-0.4124	-0.2062	-0.3489	-0.1744	-0.4434	-0.2217
6	0.8247	-4.9151	0.6977	-4.6075	0.8867	-4.5383
11	-0.0987	-0.1794	-0.1447	-0.2894	-0.0045	-0.0091
12	-0.0888	-0.0444	-0.1302	-0.0651	-0.0041	-0.0021
14	5.2013	-1.2143	5.0271	-1.2440	-4.5515	-0.9457
19	0.3036	0.6071	0.3110	0.6220	0.2364	0.4728
20	0.6071	0.3036	0.6220	0.3110	0.4728	0.2364

Tablo 5. Kat 4 alt çerçeve momentleri ($U_x = 0$, $U_y = 0$, $\theta \neq 0$)

Eleman No	YÜKLEME NO 1		YÜKLEME NO 2		YÜKLEME NO 3	
	M_{ij}	M_{ji}	M_{ij}	M_{ji}	M_{ij}	M_{ji}
4	-0.3299	-0.6598	-0.2530	-0.5061	-0.3517	-0.7033
5	0.6598	-3.1742	0.5061	-2.8762	0.7033	-2.9441
12	-0.0530	-0.1061	-0.1079	-0.2158	-0.0104	-0.0208
13	3.2803	-0.8813	3.092	-0.9182	2.9232	-0.6982
20	0.44064	0.8813	0.4591	0.9182	0.34907	0.6982

Tablo 6. Tüm çerçeve momentleri (Yükleme No. 1)

Element No	$U_x \neq 0, U_y \neq 0, \theta \neq 0$		$U_x = 0, U_y \neq 0, \theta \neq 0$		$U_x \neq 0, U_y = 0, \theta \neq 0$	
	M_{ij}	M_{ji}	M_{ij}	M_{ji}	M_{ij}	M_{ji}
1	-0.5899	-1.1836	-0.4678	-0.9357	-0.5718	-1.1448
2	-0.6092	-0.6815	-0.5711	-0.7142	-0.5782	-0.6359
3	-0.5939	-0.5930	-0.6675	-0.6663	-0.5412	-0.5331
4	-0.7617	-0.8873	-0.7919	-0.9187	-0.6948	-0.8195
5	0.8873	-2.9473	-0.9187	-2.8659	-0.8195	-3.0647
6	1.3548	-4.4005	1.4582	-4.1718	-1.2279	-4.6474
7	1.2755	-4.4354	1.3817	-4.2065	1.1771	-4.6170
8	1.7928	-4.1657	1.5067	-5.1722	1.7231	-4.2598
9	-0.1877	-0.3626	-1.0894	-2.1789	-0.1895	-0.3604
10	-0.2216	-0.2598	-0.0997	-0.2163	-0.2221	-0.2582
11	-0.2211	-0.2373	-0.2362	-0.2505	-0.2208	-0.2360
12	-0.1735	-0.1814	-0.1286	-0.1380	-0.1729	-0.1805
13	3.1286	-1.0754	3.0039	-1.1725	3.2453	-1.0070
14	4.8112	-1.7574	4.5509	-1.9181	5.0562	-1.6290
15	4.9162	-1.7541	4.6590	-1.8854	5.0960	-1.6547
16	4.7499	-2.3898	3.8615	-2.6483	4.8424	-2.3206
17	0.7684	1.5555	0.8725	1.7450	0.7484	1.5182
18	0.8343	0.9377	0.9033	1.0083	0.8023	0.8922
19	0.8164	0.8290	0.8769	0.8852	0.7625	0.7684
20	0.9284	1.0754	1.0329	1.1725	0.8606	1.0071

Tablo 7. Yatay yükleme göre çerçeve analizi

ELEMAN NO	YÖNTEM		MUTO		SMITH		PORTAL		KESİN ÇÖZÜM	
	M_{ij}	M_{ji}	M_{ij}	M_{ji}	M_{ij}	M_{ji}	M_{ij}	M_{ji}	M_{ij}	M_{ji}
1	2.421	2.421	2.515	2.515	1.897	1.897	2.607	2.396		
2	0.503	0.615	0.562	0.562	0.422	0.422	0.347	0.567		
3	-0.615	-0.439	-0.563	-0.382	-0.421	-0.421	-0.567	-0.385		
4	-2.920	-0.900	-3.077	-2.163	-2.318	-2.318	-2.743	-1.826		
5	-2.660	-2.660	2.916	2.916	3.794	3.794	2.736	2.666		
6	0.583	0.713	0.619	0.619	0.843	0.843	0.822	0.872		
7	-0.274	-0.528	-0.238	-0.506	-0.421	-0.421	-0.488	-0.547		
8	-1.250	-2.940	-1.372	-2.660	-2.318	-2.318	-1.661	-2.477		
9	2.510	2.510	2.155	2.155	1.897	1.897	2.526	2.257		
10	0.432	0.528	0.506	0.506	0.422	0.422	0.220	0.547		